

ANEXOS DE LOS RESULTADOS DE LA CARACTERIZACIÓN DE LA LÍNEA iPSC *PBMC2-iPS4F8*/ANNEXES OF iPSC CELL LINE *PBMC2-iPS4F8* CHARACTERIZATION RESULTS

✓ ANEXO 1/ANNEX 1. Resultados del test de pluripotencia mediante RT-PCR/Pluripotency test results by RT-PCR.

✓ ANEXO 2/ANNEX 2. Resultados del test de pluripotencia mediante citometría de flujo/Pluripotency test results by flow cytometry.

✓ ANEXO 3/ANNEX 3. Resultados detección enzimática de fosfatasa alcalina/Alkaline phosphatase enzymatic detection results.

✓ ANEXO 4/ANNEX 4. Resultados del test de diferenciación in vitro/In vitro differentiation test results.

✓ ANEXO 5/ANNEX 5. Resultados del test de diferenciación in vivo/In vivo differentiation test results.

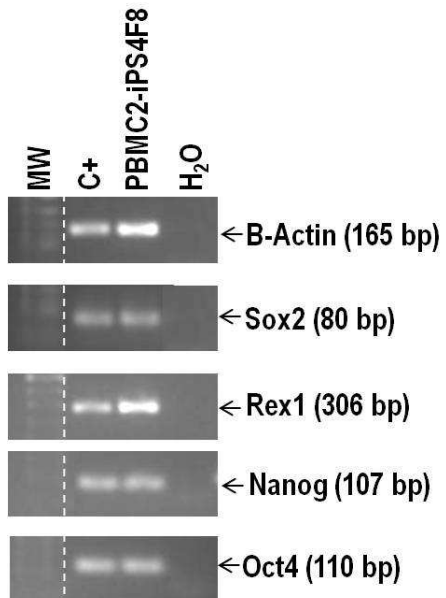
✓ ANEXO 6/ANNEX 6. Cariotipo/Karyotype.

✓ ANEXO 7/ANNEX 7. Identificación celular: huella genética por análisis de STRs de la línea celular/Cell identity: genetic fingerprinting by STRs of the cell line.

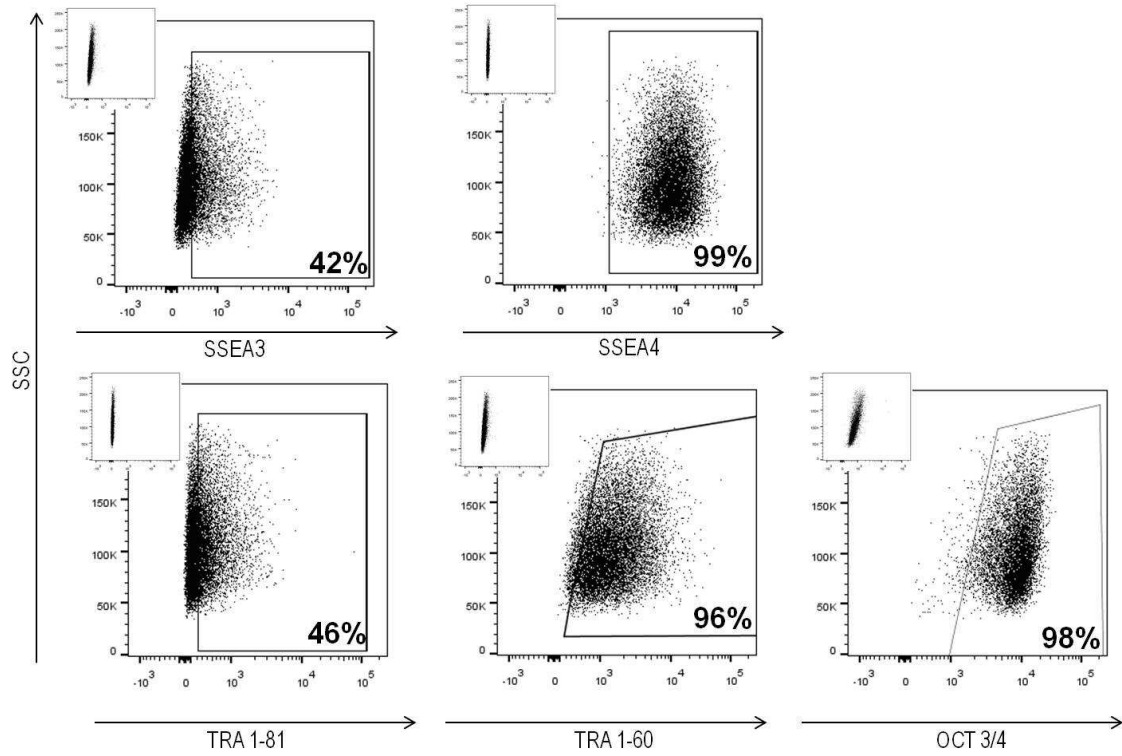
✓ ANEXO 8/ANNEX 8 Resultados del test de silenciamiento de transgenes SeV mediante RT-PCR/SeV transgenes silencing test results by RT-PCR.

✓ ANEXO 9/ANNEX 9. Resultados test de micoplasma/Mycoplasma test results.

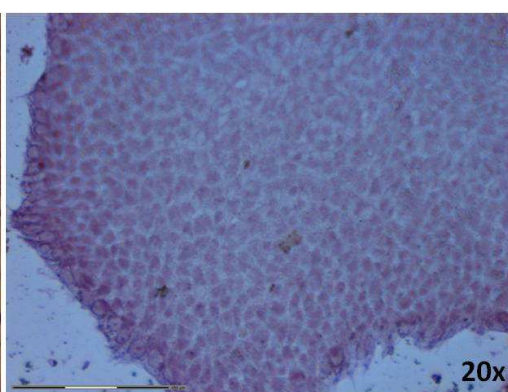
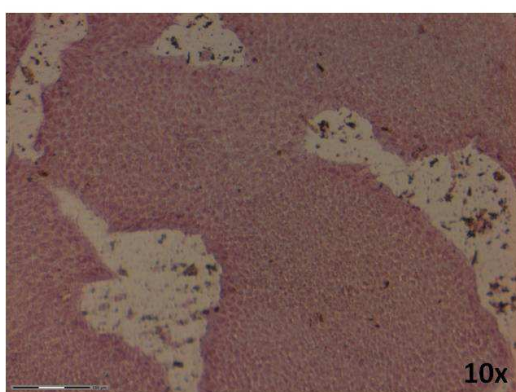
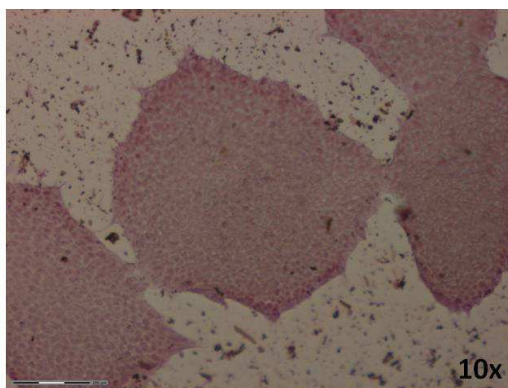
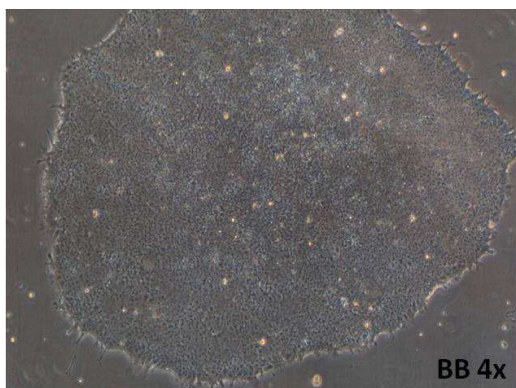
✓ ANEXO 1/ANNEX 1. Resultados del test de pluripotencia mediante RT-PCR/Pluripotency test results by RT-PCR.



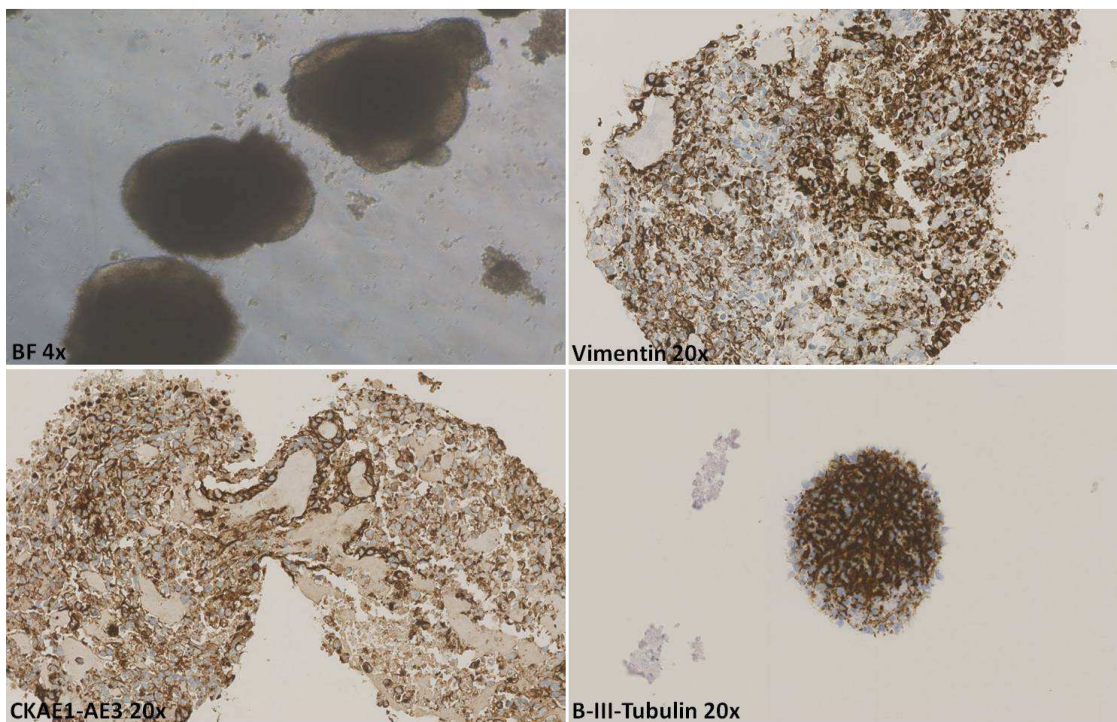
✓ ANEXO 2/ANNEX 2. Resultados del test de pluripotencia mediante citometría de flujo/Pluripotency test results by flow cytometry.



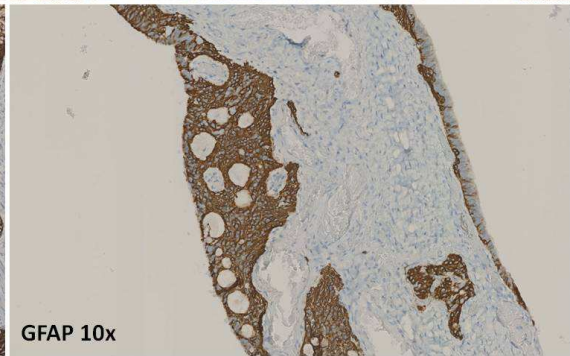
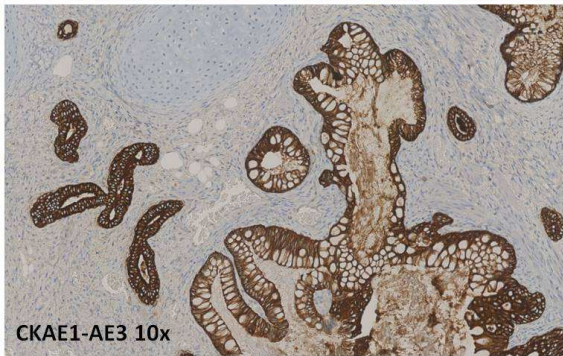
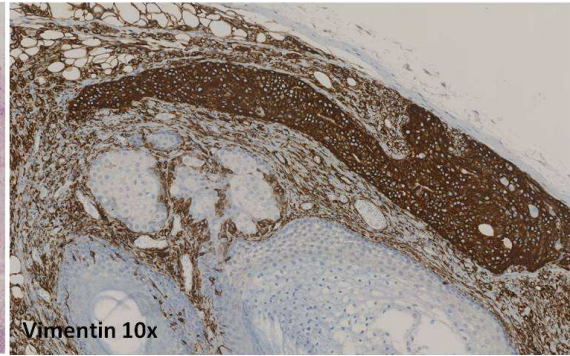
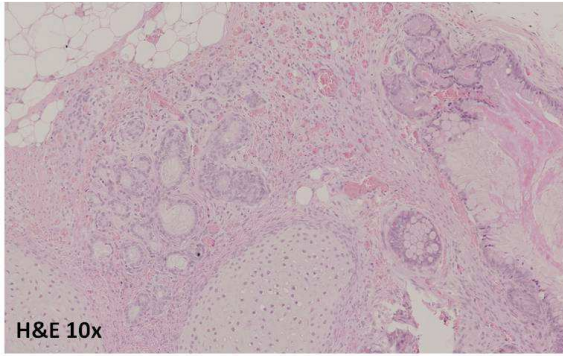
✓ ANEXO 3/ANNEX 3. Resultados detección enzimática de fosfatasa alcalina/Alkaline phosphatase enzymatic detection results.



✓ ANEXO 4/ANNEX 4. Resultados del test de diferenciación in vitro/In vitro differentiation test results.



✓ ANEXO 5/ANNEX 5. Resultados del test de diferenciación in vivo/In vivo differentiation test results.



✓ ANEXO 6/ANNEX 6. Cariotipo/Karyotype.



Biobanco del Sistema Sanitario Público de Andalucía
CONSEJERÍA DE IGUALDAD, SALUD Y POLÍTICAS SOCIALES

Parque Tecnológico Ciencias de la Salud
Centro de Investigación Biomédica
Avda. del Conocimiento s/n
18100 Armilla - Granada - Spain
biobanco.sspa@juntadeandalucia.es
www.junta.deandalucia.es/salud/biobanco

Citogenética

Código de Biobanco: 32152168007

Fecha de entrada: 23/11/2015

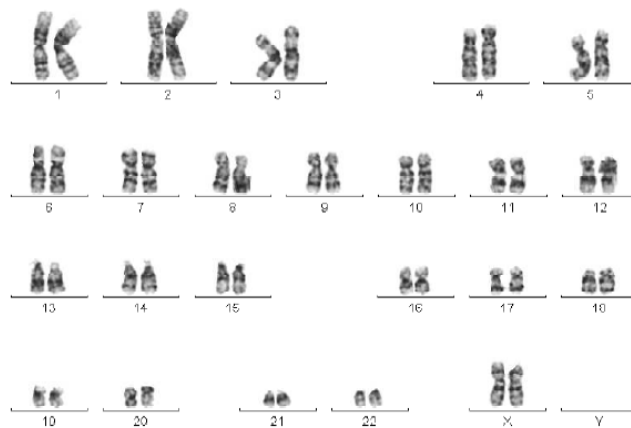
Código de Origen: PBMC2-IPS4F8

Tipo de muestra: iPSCs

Petición de servicio: 32150057PC02

Técnica: Bandas G

RESULTADOS ANÁLISIS CITOGENÉTICO



Cariotipo: 46,XX

Diagnóstico citogenético: Línea celular compatible con un cariotipo femenino normal

Comentarios cariotipo: El resultado del estudio está limitado por la sensibilidad de la técnica.

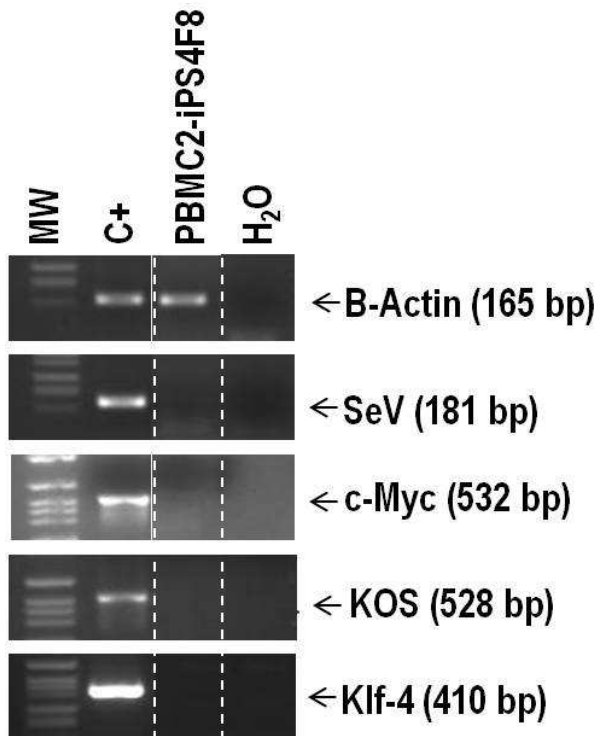
Purificación Catalina PhD

16/12/2015

✓ ANEXO 7/ANNEX 7. Identificación celular: huella genética por análisis de microsatélites-STR de la línea celular/Cell identity: genetic fingerprinting by microsatellite analysis-STR of the cell line.

Marcador	PBMCs de origen	PBMC2-iPS4F8
D21S11	28, 29	28, 29
D7S820	8, 12	8, 12
CSF1PO	10, 11	10.2,11
THO1	7, 8	7, 8
D13S317	9, 11	9, 11
D16S539	11, 13	11, 13
vWA	17, 18	17, 18
TPOX	8,8	8, 8
AMEL	X,X	X, X
D5S818	9, 11	9, 11

✓ ANEXO 8/ANNEX 8. Resultados del test de silenciamiento de transgenes SeV mediante RT-PCR/SeV transgenes silencing test results by RT-PCR.



✓ ANEXO 9/ANNEX 9. Resultados test de micoplasma/Mycoplasma test results.



RESULTADO TEST DE MYCOPLASMA PARA LA LÍNEA CELULAR PBMC2-IPS4F8

RESULTADOS DE LAS MUESTRAS RECOGIDAS EL 18/11/2015

IDENTIFICACIÓN MUESTRA	RESULTADO ESPECIES MIX	RESULTADO M. PNEUMONIAE	RESULTADO A.LAIDLAWII
PBMC2-IPS4F8	NEGATIVO	NEGATIVO	NEGATIVO

La detección de contaminación por micoplasma se ha realizado mediante qPCR en la Unidad de Genómica y Genotipado de GENYO.

Kit comercial:

Venor GeM-qEP

Mycoplasma Detection Kit for qPCR

Version 1.2

Minerva Biolabs

Este kit detecta la siguiente variedad de especies:

Detectable species:

<i>A. laidlawii*</i>	<i>M. cloacale</i>	<i>M. glycyphilum</i>	<i>M. pneumoniae*</i>
<i>M. agalactiae</i>	<i>M. collis</i>	<i>M. gypis</i>	<i>M. pulmonis</i>
<i>M. agassizii</i>	<i>M. columbinasale</i>	<i>M. hominis</i>	<i>M. salivarium</i>
<i>M. alkalescens</i>	<i>M. columbinum</i>	<i>M. hyopharyngis</i>	<i>M. simbae</i>
<i>M. anseris</i>	<i>M. columborale</i>	<i>M. hyorhinis</i>	<i>M. sp.ovine/caprine</i>
<i>M. arginini</i>	<i>M. cricetuli</i>	<i>M. hyosynoviae</i>	<i>M. spermatophilum</i>
<i>M. arthritis</i>	<i>M. cynos</i>	<i>M. iguanae</i>	<i>M. sphenisci</i>
<i>M. bovirhinalium</i>	<i>M. edwardii</i>	<i>M. indienne</i>	<i>M. spumans</i>
<i>M. bovirhinis</i>	<i>M. equirhinis</i>	<i>M. iners</i>	<i>M. sualvi</i>
<i>M. bovis</i>	<i>M. falconis</i>	<i>M. lagogenitalium</i>	<i>M. subdolum</i>
<i>M. buccale</i>	<i>M. faucium</i>	<i>M. lipofaciens</i>	<i>M. synoviae</i>
<i>M. buteonis</i>	<i>M. fellifaucium</i>	<i>M. lipophilum</i>	<i>M. testudineum</i>
<i>M. californicum</i>	<i>M. fermentans</i>	<i>M. maculosum</i>	<i>M. timone</i>
<i>M. canadense</i>	<i>M. gallinaceum</i>	<i>M. meaeagris</i>	<i>M. tumidae</i>
<i>M. capricolum</i>	<i>M. gallinarum</i>	<i>M. moatsii</i>	<i>M. verecundum</i>
<i>M. caviae</i>	<i>M. gallopavonis</i>	<i>M. opalescens</i>	<i>M. zalophi</i>
<i>M. citelli</i>	<i>M. gateae</i>	<i>M. orale</i>	

*Detection with A.I Mix / Mp Mix

Granada, 6 Septiembre 2016

Genyo
CENTRO PFIZER-UNIVERSIDAD DE GRANADA-JUNTA DE ANDALUCÍA
DE GENÓMICA E INVESTIGACIÓN ONCOLÓGICA
Parque Tecnológico de Ciencias de la Salud
Avda. de la Ilustración 114 | 18007 Granada

Unidad de Cultivos Celulares

Responsable técnico, Víctor García Cabrera